

نشریه مهندسی مکانیک امیرکبیر

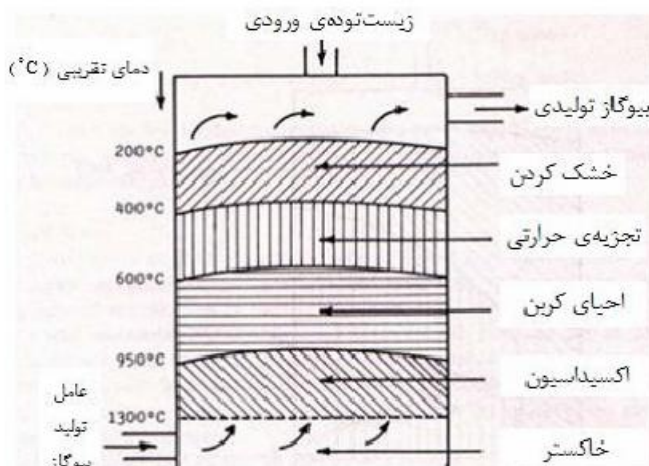
نشریه مهندسی مکانیک امیرکبیر، دوره ۴۹، شماره ۱، سال ۱۳۹۶، صفحات ۲۱۹ تا ۲۳۰  
 DOI: 10.22060/mej.2016.669

مطالعه‌ی عددی سیکل یکارچه‌ی تولید گاز از زیست توده و پل سوختی اکسید جامد صفحه‌ای

مهدی پیچ، بداعی، صبا قربانی، کاظم آتشکاری، آرمین، اعتمادی

دانشکده مهندسی مکانیک، دانشکده فنی، دانشگاه گیلان، رشت، ایران

**چکیده:** در پژوهش حاضر، عملکرد پایای سیستم یکپارچه‌ی متšکل از فرایند گازی‌سازی زیست‌توده و پیل سوختی اکسید چامد صفحه‌ای به ازای مقادیر مختلف رطوبت زیست‌توده و مقدار هوای ورودی عامل گازی‌سازی در راکتور مولد گاز به صورت عددی مورد مطالعه قرار می‌گیرد. فرایند تولید گاز در قالب یک راکتور تکمرحله‌ای با استفاده از روش ترمودینامیکی تعادلی اصلاح شده مدل می‌شود. مدل ارائه شده در بخش پیل سوختی، مدلی یک‌بعدی با امکان کنترل دما در راستای محور پیل سوختی است. مدل کامل الکتروسیمیایی در کتاب معادلات بقای جرم اجزای گازی و اتری، شاکله اصلی مدل پیل سوختی را تشکیل می‌دهند. همچنین دو اکتش اصلاح متن به کمک بخارآب و تبدیل آب- گاز متابع تولید و مصرف اجزای گازی را در کتاب سوخت تشکیل خواهند داد. مدل دو بخش اصلی سیستم به کمک نتایج آزمایشگاهی و عددی در دسترس ارزیابی شده و سه‌سی اثر پارامترهای یادشده بر عملکرد سیستم یکپارچه تحلیل و تشریح شدند. نتایج نشان می‌دهند که ارزش حرارتی پایینی بیوگاز تولیدی از هر کیلومول چوب با میزان رطوبت  $0/3$ ، با کاهش نسبت هوای معادل کاهش می‌پاید. طبق نتایج، افزایش میزان رطوبت زیست‌توده، بوان تولیدی تک‌سلول پیل سوختی اکسید چامد صفحه‌ای را کاهش خواهدداد.



**Fig. 1.** Schematic of the gasification process

شکل ۱: شماتیک از مراحل گازی سازی [۱]

شیش نوع اصلی می باشند و در میان آنها، پیل سوختی اکسید جامد و کربنات مذاب به دلیل دمای عملکردی بالا برای تولید توان در مقیاس نیروگاهی مناسب می باشند. شکل ۲ شماتیکی از یک سلول پیل سوختی اکسید جامد صفحه ای، مکانیزم تولید الکتریسیته ای آن و محل وقوع واکنشها را نشان می دهد. با توجه به قابلیت پیل های سوختی اکسید جامد در کار با سوخت های غیر از هیدروژن خالص (به دلیل دمای عملکردی بالا)، در سال های اخیر استفاده از زیست توده برای استخراج گاز مرکب و استفاده از آن به جای هیدروژن خالص به عنوان سوخت در پیل سوختی مورد توجه محققین قرار گرفته است.

١ - مقدمة

با توجه به بحران انرژی و معضلات متعدد زیست محیطی عصر حاضر، یافتن راهکارهای جدید تبدیل انرژی مبتنی بر استفاده از منابع تجدیدپذیر استخراج انرژی، توجه بسیاری از محققین این عرصه را به خود جلب کرده است. در این راستا، بهره‌برداری از منابع زیست‌توده<sup>۱</sup> و پسماند مانند زاندات کشاورزی و باگی، زباله و خرده چوب می‌تواند ضمن مطرح شدن به عنوان منبعی جایگزین برای استخراج انرژی، منجر به کاهش انتشار آلاینده‌ها به محیط‌زیست نیز شود. از میان فناوری‌های نوین تبدیل انرژی نهفته در این دست از منابع، سیستم هیبرید فرآیند گازی‌سازی<sup>۲</sup> و پیل سوختی اکسید جامد افق نویدبخشی را ترسیم می‌کند. گازی‌سازی روشی است که طی آن، زیست‌توده به صورت تدریجی و طی چهار گام به گاز مرکبی مشکل از متان، مونوکسید کربن، دی‌اکسید کربن، بخار آب و از همه مهمتر هیدروژن تبدیل شده و قابل استفاده برای تولید الکتریسیته با استفاده از فناوری‌های تولید توان مبتنی بر هیدروژن مانند پیل سوختی می‌باشد. شما بی‌از گام‌های مختلف گازی‌سازی در یک راکتور تک مرحله‌ای در شکل ۱ دیده می‌شود.<sup>[۱]</sup>

اساس کار پیل سوختی بر تولید الکتریسیته از واکنش الکتروشیمیایی بین هیدروژن و یون منفی اکسیژن استوار است. پیل های سوختی دارای

1 Biomass  
2 Gasification

b.mehdi@guilan.ac.ir مکاتبات: نویسنده عبده‌دار

تغییر پارامترهای عملکردی بر عملکرد سیستم نشان دادند که در فاکتور مصرف سوخت ۷۵٪، بالاترین راندمان به ازای کمترین تعداد سلول بسته پبل سوختی حاصل می‌شود.

در پژوهش حاضر، عملکرد پایای سیستم یکپارچه‌ی فرآیند گازی سازی و پبل سوختی اکسید جامد صفحه‌ای مدل سازی شده و مورد بررسی پارامتری قرار می‌گیرد. فرآیند گازی سازی به صورت صفر بعدی و به روش تعادل ترمودینامیکی و تک‌سلول پبل سوختی اکسید جامد صفحه‌ای به صورت یکبعدی شبیه‌سازی می‌شود. تأثیر مقدار هوای ورودی به راکتور گازی سازی و همچنین میزان رطوبت زیست‌توده‌ی ورودی بر ترکیب و ارزش حرارتی بیوگاز تولیدی در راکتور گازی سازی و نیز توان تولیدی و توزیع دمای ساختار جامد در پبل سوختی بررسی می‌شوند. مدل ارائه شده برای توده<sup>۱</sup> پبل سوختی اکسید جامد، مدل گستردۀ با خواص سیال و جمله‌های اتلاف پتانسیل متغیر با دما و شرایط عملکردی در نظر گرفته می‌شود. همچنین، از ترم‌های اجزای گازی چندجزوی و جمع دو مکانیزم نفوذ نادمن و مولکولی در شبیه‌سازی پبل سوختی استفاده می‌شود. عموماً در یکپارچه‌سازی‌هایی از این دست از مدل‌های فشرده با خواص ثابت استفاده می‌شود.

### ۳- مدل سازی ریاضی

#### ۳-۱- تولید زیست‌توده

راکتور گازی ساز از نوع بستر ثابت فروجیریان است. در این نوع راکتور، زیست‌توده و عامل گازی ساز، هر دو در یک جهت حرکت می‌کنند و گازهای تولید شده از منطقه با دمای بالا عبور می‌کنند که خود منجر به کاهش شدید محتویات تار نسبت به نوع فراجیریان می‌شود. فرآیند گازی سازی، فرآیندی پیچیده متشکل از واکنش‌های شیمیایی متعددی است که به دو روش کلی ترمودینامیک تعادلی و نرخ واکنشی مدل سازی شده است. اگرچه روش مدل سازی به کمک نرخ واکنش‌ها اطلاعات ارزشمندی در خصوص نرخ انجام واکنش‌ها و مکانیزم آنها در اختیار می‌گذارد، ولی وابستگی این روش به تعداد زیادی از عوامل دخیل، کاربرد آن را در شبیه‌سازی سیستم‌های توان یکپارچه‌ای از این دست محدود می‌کند. در مقابل، روش تعادل ترمودینامیکی که مستقل از طراحی راکتور است، برای مطالعه پارامترهای مهم عملکردی سیستم‌های یکپارچه تولید توان و حرارت، بدون پرداختن به جزئیات گاه دست و پا گیر، مناسب‌تر خواهد بود [۱۰]. در حالت تعادل ترمودینامیکی، سیستم در پایدارترین حالت خود می‌باشد که در آن آنتروپی سیستم در بیشینه مقدار خود و یا تابع انرژی آزادگیس سیستم در کمینه مقدار خود قراردارد. چنین شرایطی، به فرضیات مهمی نیاز خواهد داشت: راکتور به صورت صفر بعدی و یا فشرده مدل می‌شود، فرآیند گازی سازی به اندازه کافی سریع بوده و زمان لازم برای رسیدن سیستم به حالت تعادل وجود دارد، محتویات تار گاز تولید شده بسیار ناچیز می‌باشد و تبدیل کامل کردن در راکتور انجام می‌گیرد. در این مطالعه از میان دو روش کلی ترمودینامیک تعادلی؛ استوکیومتریک و

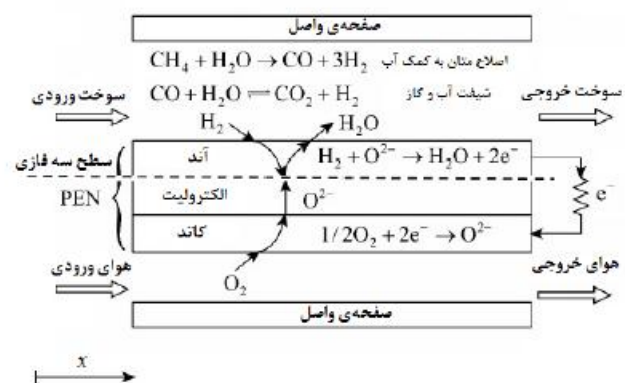


Fig. 2. Sideview of single planar solid oxide fuel cell

شکل ۲: نمای جانبی تک‌سلول پبل سوختی اکسید جامد صفحه‌ای

شکل ۳ روند تولید توان از زیست‌توده را به صورت شماتیک نشان می‌دهد.

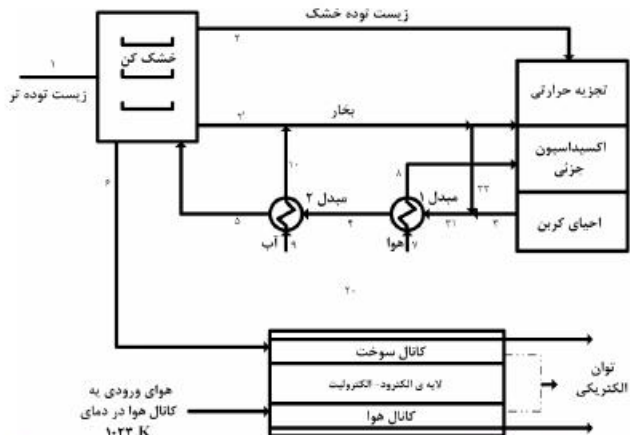


Fig. 3. Schematic of the integrated plant consist of SOFC and biomass gasification process

شکل ۳: شماتیک تبدیل زیست‌توده به توان الکتریکی در سیستم یکپارچه متشکل از فرآیند گازی سازی و پبل سوختی

مدل‌های مختلفی از هیبریدهای پبل سوختی اکسید جامد صفحه‌ای و فرآیند گازی سازی در پژوهش‌های مراجع [۲-۹] دیده می‌شوند. مولو و رکنی [۳] عملکرد ترمودینامیکی سیستم هیبرید فرآیند گازی سازی و پبل سوختی اکسید جامد به اضمام چرخه‌ی میکروتوربین گاز را در سه حالت گازی سازی و پبل سوختی، گازی سازی و میکروتوربین گاز و در نهایت گازی سازی، پبل سوختی و میکروتوربین گاز مورد بررسی قراردادند. ایشان نشان دادند که هیبرید گازی سازی و پبل سوختی دارای راندمان بالاتری نسبت به هیبرید گازی سازی و میکروتوربین گاز می‌باشد. کلپن و همکاران [۵] تأثیر سه نوع عامل مختلف گازی سازی یعنی هوا، بخار آب و ترکیب هوا و بخار آب را بر عملکرد هیبرید برون گرمایشی بررسی کردند. نتایج حاکی از بالاترین راندمان الکتریکی (۴۱/۸%) و نیز پایین‌ترین راندمان مصرف سوخت (۳۹/۱%) برای بخار آب است. ونگچان‌پایی و همکاران [۹] پبل سوختی اکسید جامد صفحه‌ای و فرآیند گازی سازی را با هم ترکیب و با بررسی تأثیر

$$f_1 = n_1 + n_3 + n_4 - 1 = 0 \quad (5)$$

$$f_2 = 2n_2 + 4n_4 + 2n_5 - (m + 2f) = 0 \quad (6)$$

$$f_3 = 2n_1 + n_2 + n_3 + 2n_7 - (p + 2e + f) = 0 \quad (7)$$

$$f_4 = 2n_6 - (q + 2 \times 3.76 e) = 0 \quad (8)$$

دو معادله باقیمانده از ثوابت تعادل دو واکنش تشکیل متان<sup>۱</sup> و تبدیل آب-گاز<sup>۲</sup> (روابط (۹) و (۱۰)) نوشه می‌شوند.



ثوابت تعادل به کمک روابط (۱۱) و (۱۲) به کمک تغییر در انرژی آزاد گیس محاسبه شده‌اند:

$$K_{MR} = \frac{n_4 \cdot n_{tot}}{(n_5)^2} = \exp\left(\frac{2g_{T,H2}^0 - g_{T,CH4}^0}{R_UT}\right) \quad (11)$$

$$K_{WGSR} = \frac{n_1 \cdot n_5}{n_3 \cdot n_2} = \exp\left(\frac{g_{T,CO}^0 + g_{T,H2O}^0 - g_{T,CO2}^0 - g_{T,H2}^0}{R_UT}\right) \quad (12)$$

در رابطه فوق، پارامتر  $n_{tot}$  به صورت زیر نوشه می‌شود:

$$n_{tot} = n_1 + n_2 + n_3 + n_4 + n_5 + n_6 \quad (13)$$

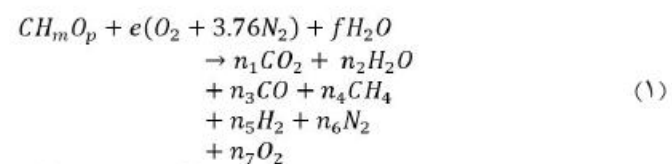
بنابراین می‌توان گفت:

$$f_5 = n_4 \cdot n_{tot} - K_{MR} \cdot (n_5)^2 = 0 \quad (14)$$

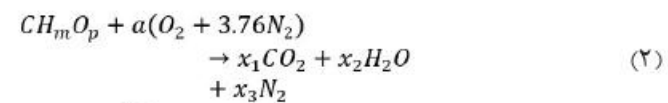
$$f_6 = n_1 \cdot n_5 - K_{WGSR} \cdot n_3 \cdot n_2 = 0 \quad (15)$$

با توجه به فرضیات ساده‌سازی که در روش ترمودینامیک تعادلی تشریح شد، نتایج حاصل از آن در شرایط مختلف با نتایج آزمایشگاهی نظیر، گاه تفاوت‌های زیادی، مخصوصاً در پیش‌بینی مقدار هیدروژن و متان نشان می‌دهد. به این منظور روش‌هایی برای اصلاح نتایج این روش ارائه شده است که در مطالعه حاضر از روش مرجع [۱۵] برای بهبود دقت پیش‌بینی‌ها استفاده می‌شود. دو ضریب برای ثوابت تعادل واکنش‌های متان و تبدیل آب-گاز بر اساس مقایسه نتایج با نتایج آزمایشگاهی گزارش شده در مرجع [۱۶] انتخاب شده است. محاسبه ثوابت تعادل، منوط به معلوم بودن دمای رآکتور گازی ساز می‌باشد. موازنۀ انرژی این رآکتور، دمای نهایی واکنش را خواهد داد. مقدار  $n$  با معلوم بودن فرمول تجربی زیست‌توده و مقدار هوای مورد نیاز محاسبه می‌شود. پنج مجھول باقیمانده، با حل همزمان پنج معادله: (۵)، (۶)، (۷) و (۱۵) به روش نیوتن-رافسون حاصل خواهند شد. البته ابتدا یک دما حدس زده شده، سپس ثوابت تعادل محاسبه می‌شوند و در ادامه دمای جدید از طریق معادله انرژی محاسبه می‌شود. این روند تا همگرا شدن دما ادامه

غیراستوکیومتریک، روش اول به کار رفته است که در آن فقط واکنش‌هایی که با اجزای گازی قابل ملاحظه به لحاظ کمیت درگیر هستند، در نظر گرفته می‌شوند. نشان داده شده است که تمام اجزای زیست‌گاز تولید شده، در فاز گازی هستند و زیست‌گاز از اجزای شیمیایی با وزن مولکولی کوچک‌تر، به خصوص؛ مونواکسید کربن، دی‌اکسید کربن، بخار آب، هیدروژن، نیتروژن و متان تشکیل می‌شود [۱۱]. واکنش کلی رآکتور گازی ساز به صورت زیر در نظر گرفته می‌شود:



ضرایب  $e$  و  $f$  تعداد مول‌های هوا و بخار آب در طی فرآیند گازی سازی زیست‌توده را نشان می‌دهند. این دو پارامتر به کمک دو متغیر نسبت هوای معادل اصلاح شده و نسبت هوای بخار آب محاسبه می‌شوند. فرمول تجربی زیست‌توده‌ی مورد مطالعه که از منابع موجود برداشت شده است به صورت  $CH_{1.47}O_{0.67}$  انتخاب می‌شود که مربوط به زیست‌توده از نوع براده‌های چوبی و ضایعات چوبی جنگلی است [۱۲]. در فرآیند نظیر فرآیند گازی سازی که در آن اکسیدکننده، مخلوطی از هوا و بخار آب است، نسبت هوای معادل اصلاح شده به صورت نسبت اکسیژن استوکیومتریک به اکسیژن تأمین شده توسط هوا تعریف می‌شود [۱۳]:



$$ER_m = \frac{2a}{2e + f} \quad (3)$$

میزان رطوبت زیست‌توده‌ی ورودی نیز نقش مهمی در عملکرد سیستم ایفا کرده و با توجه به نسبت جرمی رطوبت زیست‌توده به جرم کل زیست‌توده‌ی مرطوب ورودی به رآکتور به صورت زیر تعریف می‌شود:

$$MC = \frac{M_{H_2O}f}{M_{H_2O}f + M_{CH_mO_pN_q}} \quad (4)$$

که در آن  $M_{H_2O}$  جرم مولکولی آب و  $M_{CH_mO_pN_q}$  جرم یک مول زیست‌توده‌ی خشک می‌باشد. از آنجایی که در فرآیند گازی سازی کمتر از ۴۰ درصد هوای استوکیومتریک به کار می‌رود، مقدار اکسیژن موجود در گازهای تولید شده را می‌توان ناچیز در نظر گرفت [۱۴]. بنابراین می‌توان گفت  $= ۰$  با توجه به واکنش شیمیایی رابطه (۱) شش معادله برای محاسبه شش مجھول طرف دوم واکنش مورد نیاز خواهد بود. چهار معادله از شش معادله مورد نیاز از بالانس اتمی اجزای کربن، هیدروژن، اکسیژن و نیتروژن، به ترتیب به صورت زیر نوشه می‌شوند:

1 Methane Reaction (MR)

2 Water-Gas Shift Reaction (WGSR)

خواهدیافت.

جدول ۲: مقدار تک سلول پبل سوختی اکسید جامد صفحه‌ای

Table 2. The geometrical parameters of the single planar solid oxide fuel cell

مقدار	پارامتر
۵۰۰ میکرومتر	ضخامت آند
۵۰ میکرومتر	ضخامت کاتد
۲۰ میکرومتر	ضخامت الکتروولیت
۵۰۰ میکرومتر	ضخامت قطعه اتصال
۴ سانتیمتر	طول سلول
۱۰ سانتیمتر	عرض سلول
۱ میلیمتر	ارتفاع سلول سوخت
۱ میلیمتر	ارتفاع کanal هوا

جدول ۳: خواص مواد سازنده سلول پبل سوختی اکسید جامد صفحه‌ای

Table 3. Material properties of the single planar solid oxide fuel cell

مقدار	پارامتر
۰/۳	ضریب تخلخل الکتروودها
۶	ضریب پیچش الکتروودها
۰/۵ میکرومتر	شعاع میانگین خال و فرج
۲ وات بر متر کلوین	ضریب رسانش ساختار PEN
۲۵ وات بر متر کلوین	ضریب رسانش قطعه اتصال
۰/۵	ضریب صدور ساختار PEN
۰/۱	ضریب صدور قطعه اتصال

در رابطه بالا پارامتر  $F = ۹۶۴۸۵/۳C.mol^{-1}$  ثابت فارادی و  $R = ۸/۳۱۴۵mol^{-1}.K^{-1}.J$  ثابت جهانی گاز است. در رابطه (۱۶) بیشترین ولتاژ ممکن محاسبه می‌شود. حال آنکه ولتاژ عملکردی به دلیل مقاومت‌های داخلی، همواره از مقدار بالا کمتر خواهد بود. ولتاژ خروجی پبل سوختی از رابطه زیر محاسبه خواهد شد:

$$E_{cell} = E^{REV} - (\eta_{ohm} + \eta_{act,ct} + \eta_{act,an} + \eta_{conc,ct} + \eta_{conc,an}) \quad (17)$$

که در آن پارامترهای  $\eta_{ohm}$ ,  $\eta_{act,ct}$ ,  $\eta_{act,an}$  و  $\eta_{conc,ct}$  و  $\eta_{conc,an}$  به ترتیب افت‌های ولتاژ مقاومتی، فعال‌سازی و افت‌های غلظتی سمت کاتد و آند می‌باشند.

افت و ولتاژ مقاومتی به دلیل مقاومت الکتروودها و الکتروولیت در مقابل عبور الکترون و یون به وجود می‌آید که به صورت زیر نوشته می‌شود:

$$\eta_{ohm} = jR_{ohm} \quad (18)$$

$$R_{ohm} = t_{an} \cdot \theta_{an} + t_{ct} \cdot \theta_{ct} + t_{elec} \cdot \theta_{elec} \quad (19)$$

مقاومت الکتروودها در مقابل عبور الکترون ( $\theta_{an}$ ) و  $\theta_{ct}$  و نیز مقاومت الکتروولیت در مقابل عبور یون ( $\theta_{elec}$ ) طبق روابط مرجع [۱۸] می‌باشند. لازمه

## ۲-۲ پبل سوختی اکسید جامد

نمای پبل سوختی اکسید جامد صفحه‌ای حمایت شده توسط آند و جریان همسو در شکل ۴ نشان داده شده است. این پبل از دو کanal برای عبور جریان‌های هوا و سوخت، یک ساختار الکتروود-الکتروولیت که خود مشکل از دو الکتروود آند، کاتد و الکتروولیت جامد می‌باشد و نیز ساختار قطعات اتصال تشکیل می‌شود. در مدل‌سازی پبل سوختی اکسید جامد صفحه‌ای از افت فشار در راستای کanal‌های عبور جریان صرف‌نظر شده و میدان جریان در این کanal‌ها به کمک قانون بقای جرم مدل می‌شود [۱۷].

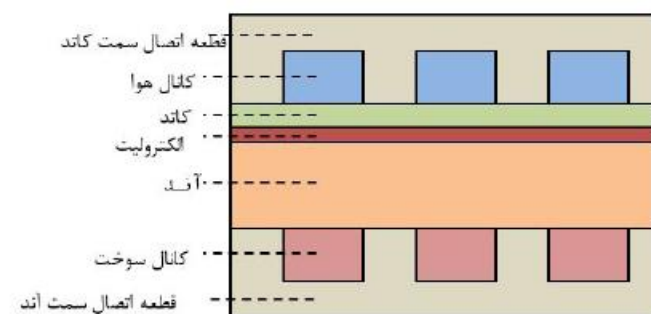


Fig. 4. Schematic view of the single planar cell

شکل ۴: شماتیک سلول پبل سوختی اکسید جامد صفحه‌ای

هوا که شامل اکسیژن و نیتروژن است، وارد کanal هوا می‌شود و زیست‌گاز تولیدی توسط بخش بالادستی، وارد کanal سوخت خواهد شد. سه واکنش غالب، طبق جدول ۱ در مدل‌سازی این بخش به کار می‌روند. فرض بر این است که فقط هیدروژن در واکنش الکتروشیمیایی شرکت کرده و واکنش تبدیل آب-گاز همواره در حالت تعادل است.

جدول ۱: واکنش‌های غالب در پبل سوختی

Table 1. The main reactions of the fuel cell

نام واکنش	معادله واکنش
واکنش اصلاح متان <sup>۱</sup> (MSRR)	$CH_4 + H_2O \leftrightarrow CO + 3H_2$
واکنش تبدیل آب-گاز (WGSR)	$CO + H_2O \leftrightarrow CO_2 + H_2$
واکنش الکتروشیمیایی	$H_2 + (1/2)O_2 \leftrightarrow H_2O$
خواص گاز و مشخصات هندسی تک‌سلول پبل سوختی اکسید جامد شبیه‌سازی شده طبق آنچه در جدول ۲ و ۳ آمده است می‌باشد.	
در پبل سوختی، ولتاژ ترمودینامیکی به کمک معادله نرنست محاسبه می‌شود. این ولتاژ که ولتاژ برگشت‌پذیر نیز نامیده می‌شود، به صورت زیر محاسبه خواهد شد [۱۷]	

$$E^{REV} = \frac{\Delta G^0}{2F} - \frac{RT}{2F} \ln \left[ \frac{P_{H_2O}^{fc}}{P_{H_2}^{fc} \cdot (P_{O_2}^{ac})^{0.5}} \right] \quad (16)$$

### 1 Methane Steam Reforming Reaction (MSRR)

نرخ واکنش‌های تبدیل آب-گاز ( $\dot{r}_{WGSR}$ )، اصلاح متان ( $\dot{r}_{MSRR}$ ) و الکتروشیمیایی ( $\dot{r}_{elecr}$ ) به صورت زیر می‌باشدند [۱۸]:

$$\dot{r}_{WGSR} = k_{WGSR} P_{CO} \left[ 1 - \frac{1}{K_{eq,S}} \left( \frac{P_{CO_2} P_{H_2}}{P_{CO} P_{H_2O}} \right) \right] \quad (۳۱)$$

$$\dot{r}_{MSRR} = k_0 P_{CH_4} \exp \left( -\frac{E_a}{RT} \right), \dot{r}_{elecr} = \frac{j}{2F} \quad (۳۲)$$

با فرض انجام واکنش‌های اصلاح متان و تبدیل آب-گاز در کanal سوخت و واکنش الکتروشیمیایی در ساختار الکترود-الکتروولیت، می‌توان موازنه انرژی برای چهار پخش؛ کanal‌های سوخت و هوا، ساختار الکترود-الکتروولیت و قطعه اتصال به منظور محاسبه دمای آنها را نوشت:

$$\rho_a u_a C_{p,a} V_{ac} \frac{dT_{ac}}{dx} = h_{c,PEN-a} A_{PEN,S} (T_{PEN} - T_{ac}) + h_{c,int-a} A_{int,S} (T_{int} - T_{ac}) \quad (۳۳)$$

$$\begin{aligned} \rho_f u_f C_{p,f} V_{fc} \frac{dT_{fc}}{dx} &= h_{c,PEN-f} A_{PEN,S} (T_{PEN} - T_{fc}) \\ &+ h_{c,int-f} A_{int,S} (T_{int} - T_{fc}) \\ &- A_{re} (\dot{r}_{MSRR} \Delta H_{MSRR} + \dot{r}_{WGSR} \Delta H_{WGSR}) \end{aligned} \quad (۳۴)$$

$$\begin{aligned} 0 &= V_{PEN} K_{PEN} \frac{d^2 T_{PEN}}{dx^2} \\ &- h_{c,PEN-f} A_{PEN,S} (T_{PEN} - T_{fc}) \\ &- h_{c,PEN-a} A_{PEN,S} (T_{PEN} - T_{ac}) \\ &- A_{re} \dot{r}_{elecr,H_2} \Delta H_{elecr,H_2} \\ &- j_{cell} E_{cell} A_{re} - E_{rad} A_{re} \end{aligned} \quad (۳۵)$$

$$\begin{aligned} 0 &= V_{int} K_{int} \frac{d^2 T_{int}}{dx^2} - h_{c,int-f} A_{int,S} (T_{int} - T_{fc}) \\ &- h_{c,int-a} A_{int,S} (T_{int} - T_{ac}) \\ &- E_{rad} A_{re} \end{aligned} \quad (۳۶)$$

در روابط بالا، انتقال حرارت‌های جابجایی بین جریان سوخت و دیواره الکترود آند و قطعه اتصال، جریان هوا و دیواره الکترود کاتد و قطعه اتصال و نیز انتقال حرارت تابشی بین دو ساختار جامد الکترود-الکتروولیت و قطعه اتصال در نظر گرفته شده‌اند.

شرایط مرزی برای حل معادله انرژی، برای سه لایه‌ی مختلف پیل سوختی متفاوت می‌باشد. در ورودی کanal‌های سوخت و هوا، شرط مرزی دما ثابت و در ورودی لایه‌ی الکترود-الکتروولیت شرط مرزی آدیباتیک در نظر گرفته می‌شود. دمای هوا ورودی به کanal هوا  $1023\text{ K}$  بوده و دمای سوخت ورودی به کanal سوخت تابع شرایط خروجی راکتور گازی ساز می‌باشد. همچنین برای حل معادلات بقای جرم اجزا، ترکیب جریان‌های ورودی کanal‌های سوخت و هوا با توجه به ترکیب بیوگاز حاصل از گازی‌سازی دارای مقادیر مشخص می‌باشند. دمای سوخت و هوا و ترکیب گاز خروجی پیل سوختی در خروجی کanal‌ها و لایه‌ی الکترود-الکتروولیت از طریق حل معادلات حاکم مشخص می‌شوند.

انجام واکنش الکتروشیمیایی، عبور اجزای واکنش‌دهنده (اکسیژن و هیدروژن) از محیط متخلخل الکترودها و رسیدن آنها به سطح تماس مشترک الکترودها و الکتروولیت در دو سوی الکتروولیت و نیز عبور محصول واکنش (آب) از این سطح مشترک به کanal جریان سوخت است. این جریان‌ها تحت تأثیر مقاومت الکترودهای متخلخل در مقابل جریان اجزای گازی قرار گرفته و افت نفوذ و غلظت در پتانسیل برگشت‌پذیر را موجب خواهد شد که با استفاده از روابط (۲۰) و (۲۱) محاسبه می‌شوند [۱۷].

$$\eta_{conc,an} = -\frac{RT}{2F} \ln \left[ \frac{X_{H_2}^{TPB} \cdot X_{H_2O}^{fc}}{X_{H_2}^{fc} \cdot X_{H_2O}^{TPB}} \right] \quad (۲۰)$$

$$\eta_{conc,ct} = -\frac{RT}{4F} \ln \left[ \frac{X_{O_2}^{TPB}}{X_{O_2}^{ac}} \right] \quad (۲۱)$$

مقاومت فعال‌سازی در رابطه (۱۷) ریشه در انرژی فعال‌سازی برای انجام هر واکنش شیمیایی دارد. این دسته از تلفات به کمک رابطه باتلر-والمر محاسبه می‌شوند [۱۲].

$$j = j_{0,ct} \cdot \left[ \exp \left( \frac{F\eta_{act,ct}}{RT} \right) - \exp \left( -\frac{F\eta_{act,ct}}{RT} \right) \right] \quad (۲۲)$$

$$j = j_{0,an} \cdot \left[ \exp \left( \frac{2F\eta_{act,an}}{RT} \right) - \exp \left( -\frac{F\eta_{act,an}}{RT} \right) \right] \quad (۲۳)$$

معادله بقای جرم اجزای گازی در کanal‌های جریان سوخت و هوا با فرض جریان پلاگ، تغییرات غلظت این اجزاء را به صورت زیر نتیجه می‌دهد:

$$\frac{d\rho_{N_2}}{dx} = 0 \quad (۲۴)$$

$$\frac{d\rho_{O_2}}{dx} = -\frac{1}{2u_a} \cdot \frac{A_{re} \cdot M_{O_2} \cdot \dot{r}_{elecr}}{V_{ac}} \quad (۲۵)$$

$$\frac{d\rho_{CH_4}}{dx} = -\frac{1}{u_f} \cdot \frac{A_{re} \cdot M_{CH_4} \cdot \dot{r}_{MSRR}}{V_{fc}} \quad (۲۶)$$

$$\frac{d\rho_{H_2}}{dx} = \frac{1}{u_f} \cdot \frac{A_{re} \cdot M_{H_2} \cdot (3\dot{r}_{MSRR} + \dot{r}_{WGSR} - \dot{r}_{elecr})}{V_{fc}} \quad (۲۷)$$

$$\frac{d\rho_{CO}}{dx} = \frac{1}{u_f} \cdot \frac{A_{re} \cdot M_{CO} \cdot (\dot{r}_{MSRR} - \dot{r}_{WGSR})}{V_{fc}} \quad (۲۸)$$

$$\frac{d\rho_{CO_2}}{dx} = \frac{1}{u_f} \cdot \frac{A_{re} \cdot M_{CO_2} \cdot (\dot{r}_{WGSR})}{V_{fc}} \quad (۲۹)$$

$$\frac{d\rho_{H_2O}}{dx} = \frac{1}{u_f} \cdot \frac{A_{re} \cdot M_{H_2O} \cdot (-\dot{r}_{MSRR} - \dot{r}_{WGSR} + \dot{r}_{elecr})}{V_{fc}} \quad (۳۰)$$

جريان الکتریکی میانگین نشان می‌دهد. بیشترین خطا در نمودار شکل ۵ کمتر از ۱۰٪ بوده و گویای این واقعیت است که الگوریتم حل معادلات الکتروشیمیایی پبل قادر به پیش‌بینی صحیح عملکرد الکتروشیمیایی آن می‌باشد.

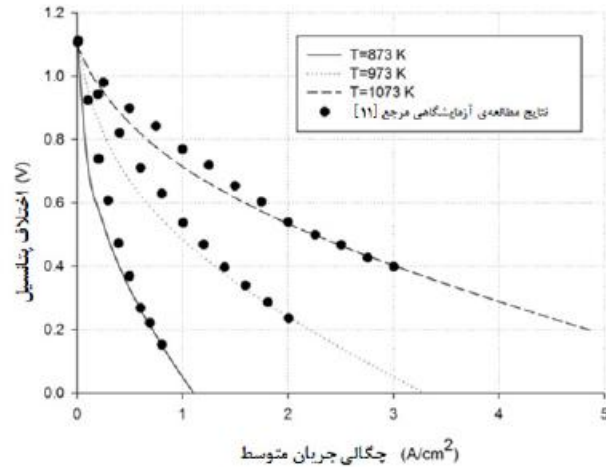


Fig. 5. Comparison between current simulation and experimental results of Zhao et al. [20]

شکل ۵: مقایسه نتایج مدل الکتروشیمیایی پبل با داده‌های پرسی تجربی مرجع [۲۰]

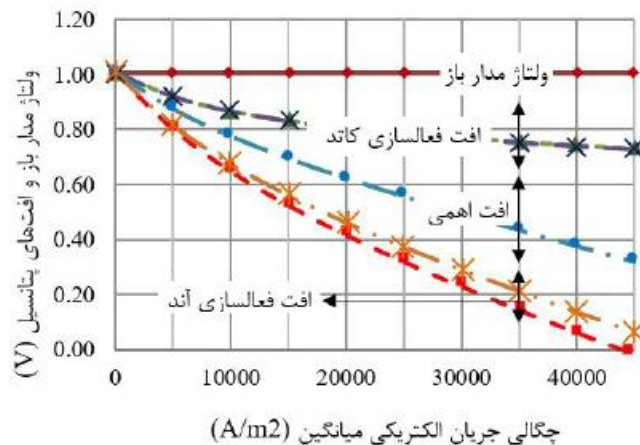


Fig. 6. Effect of the average current density on the different voltage losses

شکل ۶: اثر چگالی جریان میانگین الکتریکی بر بخش‌های مختلف اتلاف پتانسیل الکتریکی

همچنین درستی الگوریتم حل همزمان معادلات بقای حاکم بر پبل سوختی اکسید جامد صفحه‌ای (بقای غلظت اجزا و انرژی)، از طریق مقایسه نتایج مدل سازی پژوهش حاضر با نتایج مرجع [۱۷] بررسی شود. پروفیل غلظت هر یک از اجزای گازی کانال سوخت در راستای جریان در نمودار شکل ۷ و تغییرات دمای محوری کانال سوخت و ساختار الکترود-کترولیت در راستای جریان در شکل ۸ نشان داده شده‌اند.

۴-۳-۳- پارامترهای عملکردی مدل  
دو پارامتر مهم و کلیدی پبل سوختی اکسید جامد صفحه‌ای توان و راندمان الکتریکی آن و نیز پارامتر مهم لایه مولد گاز راندمان تولید گاز است که به صورت زیر محاسبه می‌شوند:

$$P_{SOFC} = j_{avg} E_{cell} \quad (37)$$

$$\eta_{SOFC} = \frac{j_{avg} E_{cell} LW}{(X_{CH_4}^0 LHV_{CH_4}^0 + X_{H_2}^0 LHV_{H_2}^0 + X_{CO}^0 LHV_{CO}^0) \dot{N}_f^0} \quad (38)$$

$$\eta_{CG} = \frac{LHV_{gas}}{LHV_{Biomass}} \quad (39)$$

### ۴- اعتبارسنجی

معادلات حاکم بر فرآیند گازی‌سازی به روش کدنویسی در محیط برنامه‌نویسی فرتزن ۹۰ و با استفاده از الگوریتم حل نیوتون-رافسون حل شده‌اند. جدول ۴ نتایج حاصل از الگوریتم حل این معادلات را با داده‌های تجربی پژوهش مرجع [۱۹] در شرایط عملکردی یکسان مقایسه می‌کند.

طبق جدول ۴، تطبیق خوبی بین کسرهای مولی تحلیل خشک حاصل از مدل سازی و نتایج مربوط به راکتور گازی‌سازی مرجع [۱۹] وجود دارد. درصدهای مولی نیتروژن و مونوکسید کربن به ترتیب با +۹/۰۴٪ و -۸/۹۸٪ در خطا دارای بیشترین انحراف از داده‌های آزمایشگاهی بوده و با توجه به تخمین مونوکسید کربن کمتر، ارزش حرارتی کمتر از داده‌های آزمایشگاهی بوسیله‌ی الگوریتم حل منطقی می‌باشد.

جدول ۴: مقایسه نتایج حاصل از مدل سازی راکتور گازی‌سازی با داده‌های آزمایشگاهی مرجع [۱۹]

Table 4. Comparison between results of the current gasification reactor model with experimental results of [19]

داده‌های آزمایشگاهی (%)	نتایج پژوهش حاضر (%)	خطای نسبی (%)
-۲/۵۹	۱/۱۳	۱/۱۶
-۳/۸۷	۲۹/۳۲	۳۰/۵
-۸/۹۸	۱۷/۸۴	۱۹/۶
+۰/۰۶	۱۵/۴۱	۱۵/۴
+۹/۰۴	۳۶/۳۱	۳۳/۳
-۸/۸۷	۵/۶۵	۶/۲
-۴/۲۴	۸۹/۰۶	۹۳

معادلات حاکم بر پبل سوختی با استفاده از روش تفاضل محدود و در محیط فرتزن ۹۰ حل شده‌اند. پاسخ مدل الکتروشیمیایی در سه دمای عملکردی با نتایج بررسی تجربی ژانو و ویرکار [۲۰] مقایسه و در نمودار ولتاژ-چگالی جریان شکل ۵ به تصویر کشیده شده‌است. همچنین شکل ۶ نمودار ولتاژ مدار باز تولیدی و افت‌های پتانسیل را در مقادیر مختلف چگالی

وابسته به دما بر ترکیب مخلوط گازی دارد. همچنین، عملکرد الکتریکی پل سوتی، یعنی شدت جریان و پتانسیل الکتریکی آن، به طریق مشابه بر ترکیب سوت موثر هستند. لذا ترکیب مخلوط گازی نیز بر عملکرد الکتریکی پل سوتی موثر خواهد بود. به محض ورود مخلوط گازی به کانال جریان سوت، واکنش به شدت گرمایش اصلاح متان به کمک بخار آب شروع می شود. نرخ این واکنش در ورودی کانال سوت به دلیل غلظت بالای متان در این محل، بسیار سریع بوده و در نتیجه اثر خنک کاری این واکنش در این بخش از پل سوتی غالب خواهد بود. از سوی دیگر، غلظت پایین هیدروژن در بخش آغازین پل سوتی، مسؤول پایین بودن شدت جریان الکتریکی پل سوتی و در نتیجه آن، نرخ پایین تولید حرارت به واسطه واکنش های الکتروشیمیایی در این بخش می باشد. با مصرف متان، هیدروژن و مونوکسید کربن تولید شده و در نتیجه آب مصرف می شود (واکنش اصلاح متان). تقریباً، متان تا  $x=0.7$  به صورت کامل مصرف شده و هیدروژن در  $x=0.31$  به بیشترین مقدار خود نزدیک می شود. در این نقطه نرخ واکنش الکتروشیمیایی بیشینه شده و در نتیجه نرخ مصرف هیدروژن و به دنبال آن نرخ تولید آب شدت می گیرد. بعد از این نقطه، کسرهای مولی هیدروژن و آب به ترتیب روندهای نزولی و صعودی نشان می دهند. از طرف دیگر، هر گونه افزایش در نرخ واکنش الکتروشیمیایی، همراه با تولید بیشتر حرارت در پل سوتی بوده و در نتیجه درجه حرارت لایه های چهار گانه در پل سوتی روندی افزایشی خواهد داشت. ناگفته نماند که کاهش شدت جریان الکتریکی محلی در انتهای پل سوتی ریشه در کاهش غلظت واکنش گرها دارد. از بحثی که گذشت، می توان چنین نتیجه گرفت که تولید غیر یکنواخت حرارت در راستای محوری پل سوتی، دلیل اصلی تغییرات دما در این راستا می باشد. کاهش ملاتیم دما در هر چهار لایه، از جمله دمای کانال سوت و ساختار الکترود-الکتروولیت، در بخش نزدیک به ورودی پل سوتی (شکل ۸)، بیش از هر چیز به نرخ بالای واکنش اصلاح متان در این محل مربوط می شود.

اما رفتارهای و با کاهش نرخ این واکنش از یک سو و افزایش نرخ واکنش الکتروشیمیایی از سوی دیگر، توزیع دمای محوری در هر چهار لایه، رو به افزایش می گذارد. بیشترین انحراف در نتایج دمای پیش بینی شده دو مدل برای کانال های عبور هوا، سوت، لایه الکترود-الکتروولیت و قطعه اتصال به ترتیب برابر  $0.089$ ،  $0.081$ ،  $0.072$  و  $0.062$  درصد می باشد. همچنین بیشترین افزایش دما مربوط به ساختار الکترود-الکتروولیت از  $0.072$  تا  $0.098$  کلوین معادل  $146/98$  کلوین می باشد. پروفیل دمای کانال هوا نیز تحت تأثیر مکانیزم انتقال حرارت جابجایی با لایه الکترود-الکتروولیت، ابتداء از مقدار  $1023\text{ K}$  در ورودی به  $984\text{ K}$  نزول کرده و سپس تا  $1107\text{ K}$  افزایش می یابد. نتایج حاصل از حل معادله انتری برای کانال هوا نیز تطبیق خوبی با نتایج بارمن و همکاران [۱۶] دارند.

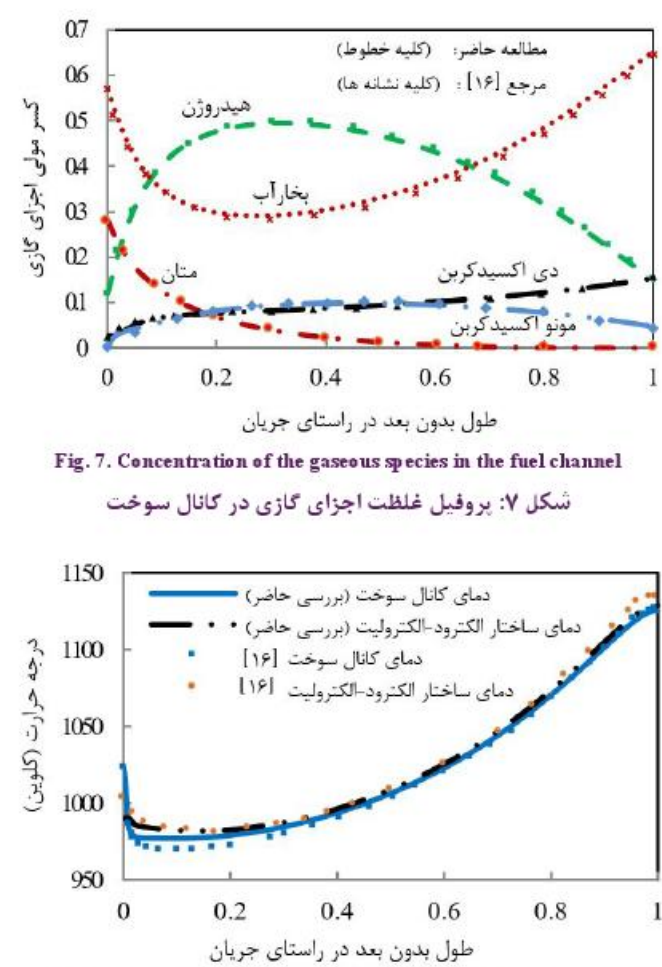


Fig. 7. Concentration of the gaseous species in the fuel channel

شکل ۷: پروفیل غلظت اجزای گازی در کانال سوت

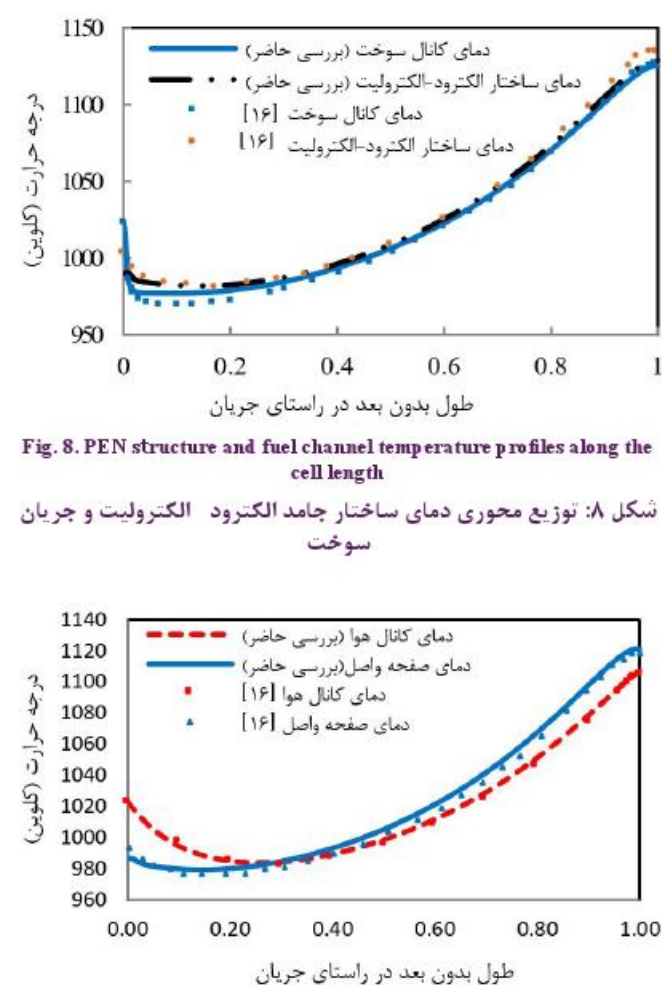


Fig. 8. PEN structure and fuel channel temperature profiles along the cell length

شکل ۸: توزیع محوری دمای ساختار جامد الکترود-الکتروولیت و جریان سوت

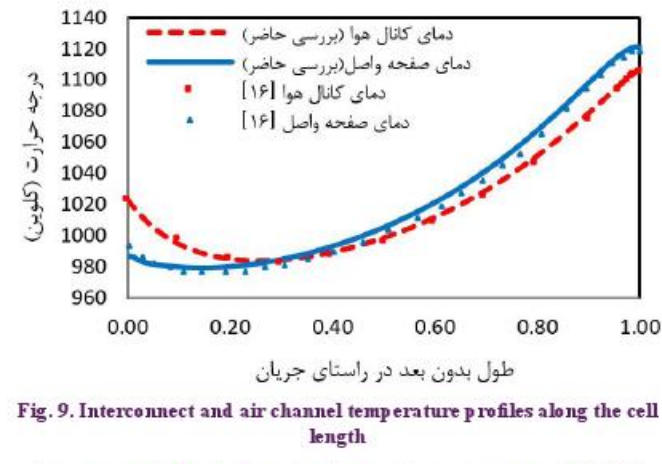


Fig. 9. Interconnect and air channel temperature profiles along the cell length

شکل ۹: توزیع محوری دمای ساختار جامد صفحات واصل و جریان هوا

حضور همزمان سه واکنش؛ اصلاح متان به کمک بخار آب، تبدیل آب-گاز و واکنش الکتروشیمیایی معرف تولید و یا مصرف هر جزء گازی است. از طرفی، درجه حرارت موضعی اثری غیرمستقیم از طریق نرخ های واکنش

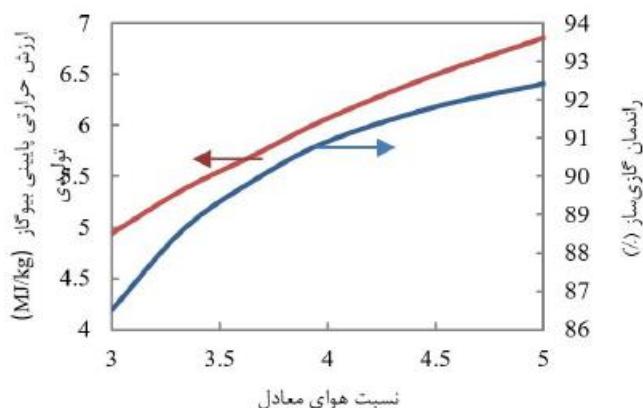


Fig. 11. Low heating value of producer gas and cooled gas efficiency of gasification process for different equivalence ratio

شکل ۱۱: ارزش حرارتی پایینی بیوگاز تولیدی و راندمان گازی‌سازی برای مقادیر مختلف نسبت هوای معادل

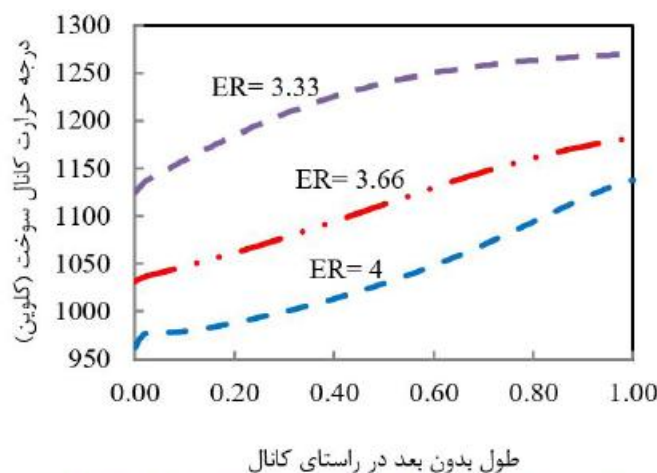


Fig. 12. Fuel channel temperature for different equivalence ratio

شکل ۱۲: دمای جریان سوخت در کanal سوخت پیل سوختی برای مقادیر مختلف نسبت هوای معادل

کاهش نسبت هوای معادل، علاوه بر تغییر ترکیب بیوگاز تولیدی، دمای بیوگاز ورودی به پیل را نیز افزایش داده و منجر به بالا رفتن پروفیل دمای کanal سوخت می‌شود. همین مسئله باعث شده است که این افت انرژی در پروفیل دمای سوخت مربوط به نسبت‌های هوای معادل کمتر مشاهده نشود. بر همین اساس توزیع دمای لایه‌ی الکترود- الکتروولیت در نتیجه انتقال حرارت جابجایی با جریان سوخت مطابق شکل ۱۳ محاسبه می‌شود. بیشترین اختلاف دما در این لایه با  $173\text{ K}$  مربوط به نسبت هوای معادل ۴ بوده و کمترین اختلاف دما با  $128\text{ K}$ ، به نسبت هوای معادل  $۳/۳۳$  اختصاص دارد.

در شکل ۱۴، توان و راندمان مصرف سوخت تک‌سلول پیل سوختی اکسید جامد در نسبت‌های هوای معادل مختلف ترسیم شده‌اند. با توجه به این نمودار، توان تولیدی با کاهش نسبت هوای معادل از ۴ به  $۳/۶۶$  افزایش قابل ملاحظه‌ای داشته و مقدار آن از  $۱۳۱۲\text{ kW}$  به  $۰/۰\text{ kW}$  می‌رسد.

#### ۴- بررسی پارامتریک

##### ۴-۱- تأثیر مقدار هوای ورودی به راکتور گازی‌ساز

تأثیر میزان هوای ورودی به راکتور گازی‌ساز (به عنوان عامل گازی‌سازی) بر ترکیب بیوگاز تولیدی و نیز عملکرد پیل سوختی مورد بررسی قرار گرفت. شکل ۱۰ ترکیب حاصل از آنالیز خشک بیوگاز تولیدی از هر کیلومول چوب با میزان رطوبت ۳۰٪ را در نسبت‌های هوای معادل مختلف نشان می‌دهد. دیده می‌شود، کاهش نسبت هوای معادل از ۵ به ۳، کاهش درصد مولی درصد مولی مبنای خشک متان از  $۳/۶۲\%$  تا  $۰/۰۴\%$ ، کاهش درصد مولی هیدروژن از  $۳۱/۳۶\%$  تا  $۲۲/۲۹\%$  و افزایش درصد مولی مونوکسید کربن از  $۱۸\%$  تا  $۲۲/۵۴\%$  را به دنبال دارد.

همانگونه که در شکل ۱۱ نشان داده شده است، با کاهش نسبت هوای معادل از ۵ به ۳، ارزش حرارتی پایین بیوگاز تولیدی از  $۸/۶\text{ MJ/kg}$  به  $۵/۳۷\text{ MJ/kg}$  کاهش می‌یابد. کاهش ارزش حرارتی بیوگاز تولیدی نتیجه‌ی کاهش شدید غلظت متان و هیدروژن در اثر کاهش نسبت هوای معادل است. با توجه به کاهش ارزش حرارتی بیوگاز تولیدی، کاهش راندمان گازی‌سازی از  $۹/۲/۴۱\%$  در نسبت هوای معادل ۵ به  $۸/۸/۶۱\%$  در نسبت هوای معادل ۳ دیده می‌شود. همچنین دمای بیوگاز تولیدی، با کاهش نسبت هوای معادل از ۵ به ۳، از  $۱۱۲۵\text{ K}$  به  $۸/۷۷\text{ K}$  رسیده و به میزان  $۲۴۸$  کلوین افزایش می‌یابد. پروفیل دمای کanal سوخت در پیل سوختی برای مقادیر مختلف نسبت هوای معادل در شکل ۱۲ نشان داده شده است. در نسبت هوای معادل ۴ افتی در پروفیل دمای کanal سوخت دیده می‌شود. این افت به دلیل مصرف انرژی واکنش گرمایی اصلاح سوخت به وجود می‌آید. از آنجایی که با کاهش نسبت هوای معادل، میزان متان موجود در بیوگاز کاهش می‌یابد، در نسبت‌های هوای معادل پایین‌تر، متان کمتری وارد کanal سوخت شده و نرخ واکنش اصلاح متان کاهش می‌یابد.

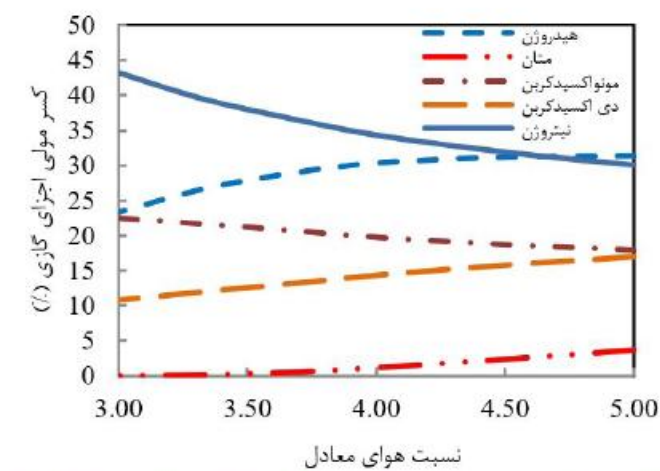


Fig. 10. Composition of the producer gas for different equivalence ratio

شکل ۱۰: ترکیب بیوگاز تولیدی از چوب در مقادیر مختلف نسبت هوای معادل

با افزایش میزان رطوبت درصد مولی متان و هیدروژن افزایش یافته‌اند، اما در فاصله‌ی مقادیر  $0/0$  تا  $0/5$  برای میزان رطوبت، درصد مولی آنها دچار کاهش شده است.

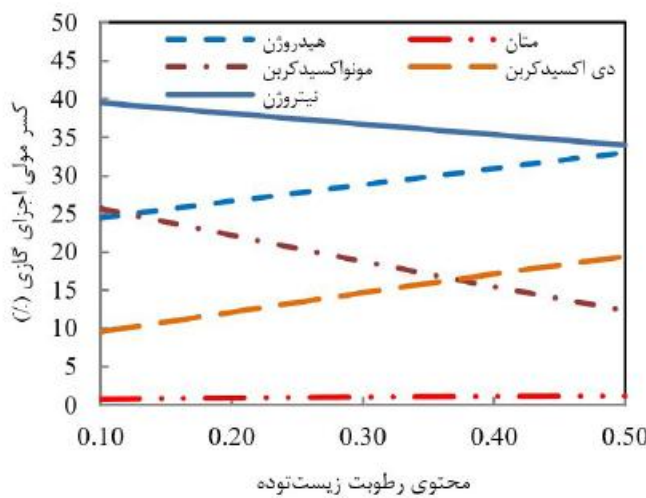


Fig. 15. Composition of the producer gas for different moisture content of the biomass

شکل ۱۵: ترکیب بیوگاز تولیدی از چوب برای مقادیر مختلف میزان رطوبت زیست‌توده

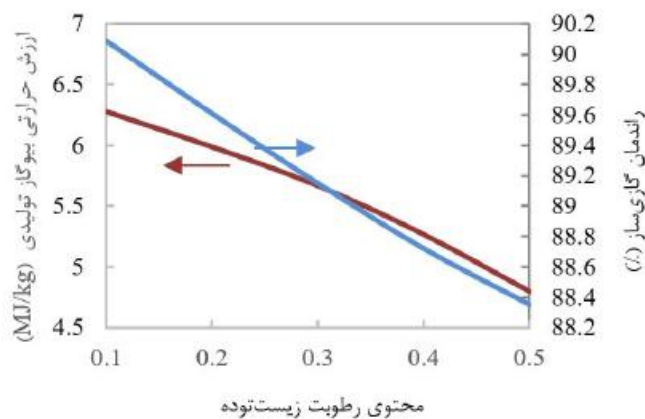


Fig. 16. Low heating value of producer gas and cooled gas efficiency of gasification process for different moisture content of the biomass

شکل ۱۶: ارزش حرارتی پایه‌نی بیوگاز تولیدی و راندمان گازی‌سازی برای مقادیر مختلف میزان رطوبت زیست‌توده

دلیل این امر، نه کاهش کیلومول متان و هیدروژن تولید شده بلکه افزایش کیلومول بخار آب در بیوگاز تولیدی است که از بالا رفتن میزان رطوبت زیست‌توده‌ی ورودی در مقادیر  $0/0$  تا  $0/5$  نشأت گرفته است. شکل ۱۶ ارزش حرارتی بیوگاز تولیدی و راندمان گازی‌سازی در مقادیر مختلف میزان رطوبت زیست‌توده‌ی ورودی را نشان می‌دهد. با توجه به این شکل با افزایش میزان رطوبت از  $0/0$  تا  $0/5$ ، ارزش حرارتی بیوگاز تولیدی از  $4/80$  MJ/kg کاهش می‌باید. در واقع، منشأ این کاهش ارزش حرارتی پایین بیوگاز تولیدی را می‌توان همان کاهش شدید کیلومول مونوکسیدکربن

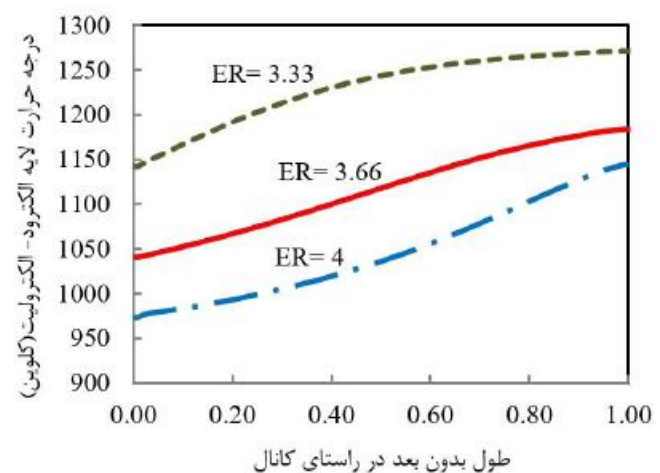


Fig. 13. PEN structure temperature for different eq uivalence ratio

شکل ۱۳: دمای ساختار الکترود الکتروولیت پل سوخت برای مقادیر مختلف نسبت هوای معادل

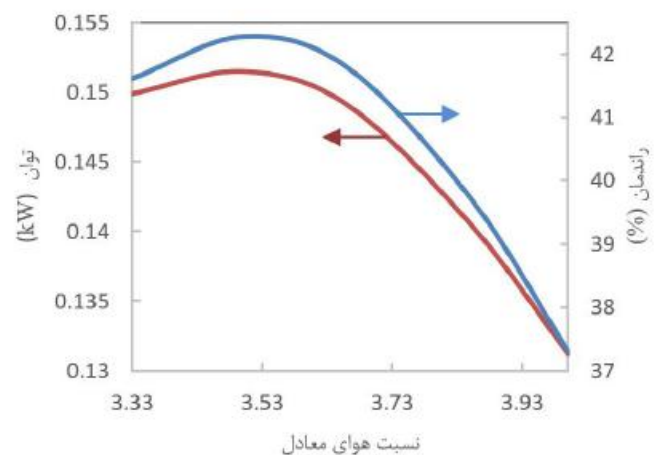


Fig. 14. Electric power and efficiency of the single cell for different equivalence ratio

شکل ۱۴: توان و راندمان مصرف سوخت تکسلول پل سوختی اکسید جامد در مقادیر مختلف نسبت هوای معادل

با کاهش بیشتر نسبت هوای معادل  $3/33$ ، توان تولیدی ابتدا افزایش اندکی دارد، به نحوی که در حوالی نسبت هوای معادل  $3/5$  به بیشترین مقدار رسیده و سپس کاهش می‌یابد. در این نمودار همچنین راندمان مصرف سوخت تکسلول پل سوختی اکسید جامد صفحه‌ای نیز نشان داده شده است. بر این اساس، بیشترین راندمان مصرف سوخت مربوط به نسبت هوای معادل  $3/5$  و کمترین مقدار آن مربوط به نسبت هوای معادل  $4$  است.

۴-۲- تأثیر رطوبت زیست‌توده‌ی ورودی بر عملکرد سیستم یکپارچه تأثیر میزان هوای ورودی به راکتور گازی‌ساز (به عنوان عامل گازی‌سازی) بر ترکیب بیوگاز تولیدی و نیز عملکرد پل مورد بررسی قرار گرفت. شکل ۱۵ ترکیب آنالیز خشک بیوگاز تولیدی از هر کیلومول چوب، در دمای  $1073\text{ K}$  را در مقادیر مختلف میزان رطوبت نشان می‌دهد. بر اساس این نمودار، اگرچه

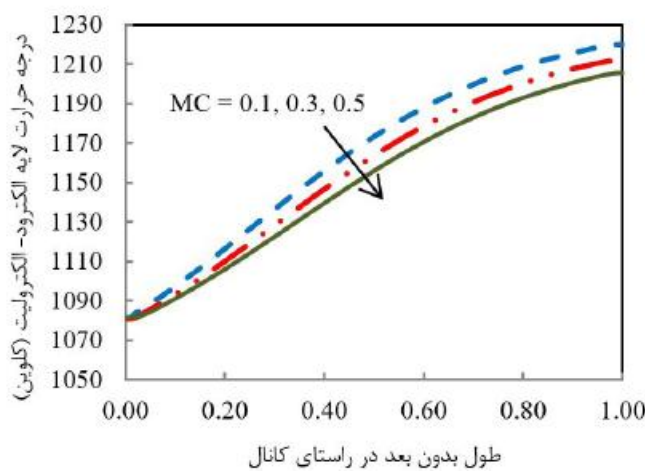


Fig. 18. PEN structure temperature for different moisture content of the biomass

شکل ۱۸: دمای ساختار الکترود الکتروولیت پل سوختی برای مقادیر مختلف میزان رطوبت زیست توده

در شکل ۱۹، توان تولیدی و راندمان مصرف سوخت تک سلول پل سوختی اکسید جامد صفحه‌ای، در مقادیر مختلف میزان رطوبت زیست توده‌ی ورودی، به تصویر کشیده شده‌اند. با توجه به این شکل، توان تولیدی تک سلول با افزایش میزان رطوبت کاهش یافته و از  $W_{kW}^{10} / ۱۵۳۷$  در میزان رطوبت  $۰/۱$ ، به  $W_{kW}^{10} / ۱۴۸۴$  در میزان رطوبت  $۰/۵$  می‌رسد. کاهش توان تولیدی ناشی از افت پروفیل دمای تک سلول و در نتیجه افزایش اختلاف دمای پل (مطلوب) با افزایش میزان رطوبت زیست توده‌ی ورودی، مقدار بهینه‌ی میزان رطوبت، به منظور عملکرد بهینه‌ی پل می‌تواند به عنوان مسئله‌ی طراحی هیبرید مورد بررسی قرار داده شود.

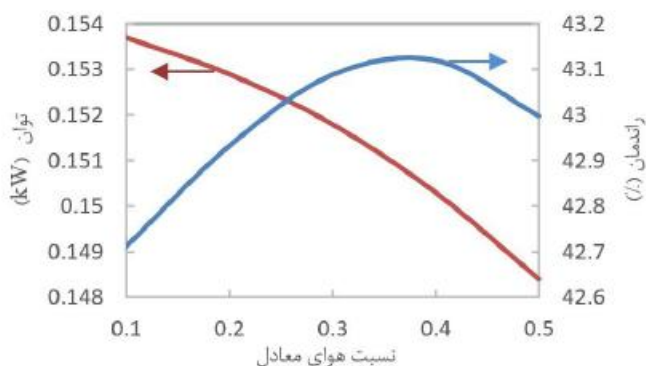


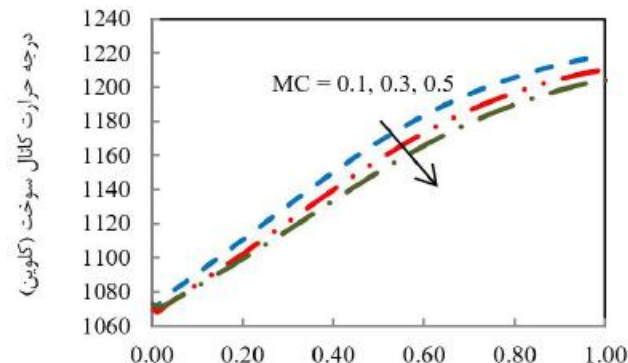
Fig. 19. Electric power and efficiency of the single cell for different moisture content of the biomass

شکل ۱۹: توان و راندمان مصرف سوخت تک سلول پل سوختی اکسید جامد برای مقادیر مختلف میزان رطوبت زیست توده

همچنین در شکل ۱۹، مشاهده می‌شود که اگرچه راندمان مصرف سوخت تک سلول پل سوختی اکسید جامد صفحه‌ای مدنظر، با افزایش میزان رطوبت تا مقدار  $۰/۴$  افزایش می‌یابد، اما با افزایش میزان رطوبت از  $۰/۴$  تا

تولید شده در اثر افزایش میزان رطوبت از  $۰/۵$  تا  $۰/۱$  دانست؛ مسئله‌ای که با توجه به تقریباً ثابت ماندن کیلومول متان تولیدی و نیز بیشتر بودن ارزش حرارتی هر کیلومول مونوکسید کربن نسبت به هر کیلومول هیدروژن منجر به کاهش ارزش حرارتی پایینی بیوگاز تولیدی شده است. با توجه به اینکه بخشی از حرارت تولیدی، صرف تبخیر آب می‌شود، می‌توان بدین صورت تغییر کرد که هرچه میزان رطوبت زیست توده‌ی ورودی بالاتر باشد، ارزش حرارتی بیوگاز تولیدی کمتر می‌شود.

راندمان گازی‌سازی نیز با توجه به کاهش ارزش حرارتی بیوگاز تولید شده با افزایش میزان رطوبت از  $۰/۱$  تا  $۰/۰/۵$ ، از  $۹۰/۰/۹\%$  تا  $۸۸/۳/۵\%$  کاهش می‌یابد. شکل ۱۷، پروفیل دمای کanal سوخت را در میزان رطوبت‌های مختلف زیست توده‌ی ورودی نشان می‌دهد. بر اساس این نمودار، افزایش میزان رطوبت زیست توده‌ی ورودی به پایین آمدن پروفیل دمای کanal شده و دمای سوخت را کاهش می‌دهد. این مسئله ناشی از افزایش متan ورودی و در نتیجه بیشتر انجام شدن واکنش گرمایی اصلاح می‌باشد. نتایج نشان می‌دهند که سوخت در میزان رطوبت  $۰/۱$ ، با دمای  $K^{1219}$  و در میزان رطوبت  $۰/۵$ ، با دمای  $K^{1204}$  از کanal خارج می‌شود. پایین آمدن پروفیل دما نتیجه‌ایست که با افزایش میزان رطوبت، برای ساختار جامد الکترود- الکتروولیت نیز حاصل می‌شود. شکل ۱۸، به وضوح این مسئله را به تصویر می‌کشد. پروفیل دمای لایه‌ی پن متأثر از پروفیل دمای کanal سوخت، از طریق مکانیزم انتقال حرارت جابجایی، پایین می‌آید. در این نمودار دیده می‌شود که با افزایش میزان رطوبت از  $۰/۱$  تا  $۰/۵$ ، حداقل اختلاف دمای لایه‌ی الکترود- الکتروولیت از  $K^{138}$  به  $K^{123}$  کاهش می‌یابد. از آنجا که با افزایش میزان رطوبت، حداقل اختلاف دمای لایه‌ی الکترود- الکتروولیت کاهش می‌یابد، از شدت تنش‌های حرارتی ایجاد شده کاسته می‌شود. نکته‌ای که با توجه به بحث مربوط به شکست احتمالی ساختار جامد الکترود- الکتروولیت، می‌تواند در بهبود شرایط کارکردی پل و افزایش عمر آن مؤثر باشد.



شکل ۱۷: دمای جریان سوخت در کanal سوخت پل سوختی برای مقادیر مختلف میزان رطوبت زیست توده

6809-25.

- [3] Bang-Møller, C. and M. Rokni, "Thermodynamic performance study of biomass gasification, solid oxide fuel cell and micro gas turbine hybrid systems". *Energy Conversion and Management*, 51 (2010): 2330-9.
- [4] Toonssen, R., S. Sollai, P. V. Aravind, N. Woudstra and A. H. M. Verkooijen, "Alternative system designs of biomass gasification SOFC/GT hybrid systems". *International Journal of Hydrogen Energy*, 36 (2011): 10414-25.
- [5] Colpan, C. O., F. Hamdullahpur, I. Dincer and Y. Yoo, "Effect of gasification agent on the performance of solid oxide fuel cell and biomass gasification systems". *International Journal of Hydrogen Energy*, 35 (2010): 5001-9.
- [6] Colpan, C. O., A. S. Fung and F. Hamdullahpur, "Modeling of an integrated two-stage biomass gasifier and solid oxide fuel cell system". *Biomass and Bioenergy*, 42 (2012): 132-42.
- [7] Bang-Møller, C., M. Rokni, B. Elmegård, J. Ahrenfeldt and U. B. Henriksen, "Decentralized combined heat and power production by two-stage biomass gasification and solid oxide fuel cells". *Energy*, 58 (2013): 527-37.
- [8] Campitelli, G., S. Cordiner, M. Gautam, A. Mariani and V. Mulone, "Biomass fueling of a SOFC by integrated gasifier: Study of the effect of operating conditions on system performance". *International Journal of Hydrogen Energy*, 38 (2013): 320-7.
- [9] Wongchanapai, S., H. Iwai, M. Saito and H. Yoshida, "Performance evaluation of an integrated small-scale SOFC-biomass gasification power generation system". *Journal of Power Sources*, 216 (2012): 314-22.
- [10] Puig-Arnavat, M., J. C. Bruno and A. Coronas, "Review and analysis of biomass gasification models". *Renewable and Sustainable Energy Reviews*, 14 (2010): 2841-51.
- [11] Silva, V. B. and A. Rouboa, "Using a two-stage equilibrium model to simulate oxygen air enriched gasification of pine biomass residues". *Fuel Processing Technology*, 109 (2013): 111-7.
- [12] Zainal, Z. A., R. Ali, C. H. Lean, K. N. Seetharamu, "Prediction of performance of a downdraft gasifier using equilibrium modeling for different biomass materials". *Energy Conversion and Management*, 42 (2001): 1499-515.
- [13] Gordillo, G., K. Annamalai and N. Carlin, "Adiabatic fixed-bed gasification of coal, dairy biomass, and feedlot biomass using an air-steam mixture as an oxidizing

۵/۰ از مقدار آن کاسته می‌شود. راندمان مصرف سوخت در میزان رطوبت ۰/۱ برابر ۴۲/۷۱٪، در میزان رطوبت ۰/۰ معادل ۴۲/۹۹٪ و در بیشترین مقدار در میزان رطوبت ۰/۴ برابر ۴۳/۱۲٪ می‌باشد. با افزایش میزان رطوبت از ۰/۱ تا ۰/۰، برخلاف کاهش توان تولیدی، راندمان مصرف سوخت بر اثر افزایش ارزش حرارتی سوخت ورودی با شبیه سیار کمی افزایش می‌یابد. با افزایش میزان رطوبت از ۰/۰ تا ۰/۵، انتظور که از روند کاهشی منحنی توان تولیدی برمی‌آید، کاهش توان تولیدی به قدری است که برخلاف کاهش ارزش حرارتی سوخت ورودی به پیل، راندمان مصرف سوخت را کاهش می‌دهد؛ هرچند مطابق شکل ۱۹ این کاهش بسیار اندک است.

## ۵- نتیجه‌گیری

سیکل یکپارچه‌ی تولید گاز از زیست‌توده، در کنار پیل سوختی اکسید جامد صفحه‌ای به روش عددی مورد بررسی قرار گرفت. تأثیر نسبت هوای معادل و رطوبت زیست‌توده بر مهم‌ترین پارامترهای عملکردی راکتور گازی‌سازی و نیز تک سلول پیل سوختی از جمله ترکیب و ارزش حرارتی بیوگاز تولیدی، توان تولیدی، راندمان مصرف سوخت و پروفیل دمای ساختار جامد الکترود- الکتروولیت بررسی شد.

بر اساس نتایج بررسی پارامتری، ارزش حرارتی پایینی بیوگاز تولیدی از هر کیلومول چوب با میزان رطوبت ۰/۳، با کاهش نسبت هوای معادل از ۵ به ۳ دچار کاهش شده و از ۸/۶ به ۵/۳۷ MJ/kg رسید. راندمان گازی‌سازی از ۹۲/۴۱٪ در نسبت هوای معادل ۵ به ۸/۶٪ در نسبت هوای معادل ۳ کاهش می‌یابد. بیشترین اختلاف دما در ساختار جامد الکترود- الکتروولیت با ۱۷۳ K مربوط به نسبت هوای معادل ۴ بوده و کمترین اختلاف دما با K ۱۲۸، به نسبت هوای معادل ۳/۳۳ اختصاص دارد. با کاهش نسبت هوای معادل از ۴ به ۳/۳۳، توان تولیدی پیل در نسبت هوای معادل ۳/۵ به بیشترین مقدار می‌رسد. همچنین نتایج نشان می‌دهند که با افزایش میزان رطوبت از ۰/۱ تا ۰/۵، ارزش حرارتی بیوگاز تولیدی از ۶/۲۸ به ۴/۸۰ MJ/kg کاهش می‌یابد. حداقل اختلاف دمای ساختار جامد الکترود- الکتروولیت با افزایش میزان رطوبت زیست‌توده از ۰/۱ تا ۰/۵ K کاهش می‌یابد. با افزایش میزان رطوبت زیست‌توده از ۰/۱ تا ۰/۵، توان تولیدی W ۵/۳ کاهش می‌یابد. بیشترین مقدار راندمان مصرف سوخت پیل در بازه تغیرات ۰/۱ تا ۰/۵، برای میزان رطوبت زیست‌توده برابر ۴۳/۱۲٪ و مربوط به میزان رطوبت ۰/۴ است.

## منابع

- [1] Rajvanshi, A. K., "BIOMASS GASIFICATION". Alternative Energy in Agriculture.
- [2] Nagel, F. P., T. J. Schildhauer and S. M. A. Biollaz, "Biomass-integrated gasification fuel cell systems – Part 1: Definition of systems and technical analysis". *International Journal of Hydrogen Energy*, 34 (2009):

- state performance". *Journal of Power Sources*, 138 (2004): 120-36.
- [18] Iwai, H., Y. Yamamoto, M. Saito and H. Yoshida, "Numerical simulation of intermediate-temperature direct-internal-reforming planar solid oxide fuel cell". *Energy*, 36 (2011): 2225-34.
- [19] Jesper Ahrenfeldt U. H., K. J. Torben, Benny Gøbel, Lars Wiese and H. E. Alphons Kather, "Validation of a Continuous Combined Heat and Power (CHP) Operation of a Two-Stage Biomass Gasifier". *Energy & Fuels*, 20 (2006): 9.
- [20] Zhao, F. and A. V. Virkar, "Dependence of polarization in anode-supported solid oxide fuel cells on various cell parameters". *Journal of Power Sources*, 141 (2005): 79-95.
- [14] Melgar, A., J. F. Pérez, H. Laget and A. Horillo, "Thermochemical equilibrium modelling of a gasifying process". *Energy Conversion and Management*, 48 (2007): 59-67.
- [15] Jarunghammachote, S. and A. Dutta, "Thermodynamic equilibrium model and second law analysis of a downdraft waste gasifier". *Energy*, 32 (2007): 1660-9.
- [16] Barman, N. S., S. Ghosh, S. De, "Gasification of biomass in a fixed bed downdraft gasifier – A realistic model including tar". *Bioresource Technology*, 107 (2012): 505-11.
- [17] Aguiar, P., C. S. Adjiman and N. P. Brandon, "Anode-supported intermediate temperature direct internal reforming solid oxide fuel cell. I: model-based steady-

Please cite this article using:

M. Borji, S. Ghorbani, K. Atashkari, A. Etemadi, "Numerical investigation of integrated biomass gasification and planar solid oxide fuel cell power plant", *Amirkabir J. Mech. Eng.*, 49(1) (2017) 219-230.

DOI: 10.22060/mej.2016.669

برای ارجاع به این مقاله از عبارت زیر استفاده کنید:

